



همسانه‌سازی ژن شبه انسولین انسانی در ناقل‌های بیانی گیاهی

سرگل دارابی^۱, سونیا رمضانی^۱, محمد احمدآبادی^{*۲}^۱دانشجوی کارشناسی ارشد، دانشکده کشاورزی، دانشگاه شهید مدنی آذربایجان.^۲استادیار، دانشکده کشاورزی، دانشگاه شهید مدنی آذربایجان.

تاریخ دریافت: ۱۳۹۲/۰۷/۲۹، تاریخ پذیرش: ۱۳۹۴/۰۷/۲۵

چکیده

گیاهان ترا ریخت، بیوراکتورهای مناسبی برای تولید پروتئین‌های نوترکیب در سطوح بالا و با کیفیت بهتر می‌باشند. همسانه‌سازی ژن کدکننده پروتئین هدف در ناقل بیانی مناسب یکی از مراحل مهم در انتقال و بیان موفق پروتئین در گیاه مورد نظر می‌باشد. هدف از این تحقیق، همسانه‌سازی cDNA فاکتور رشد شبه انسولین-۱ (*IGF1*) در ناقلهای بیانی مناسب گیاهی بود. برای این منظور، ابتدا با استفاده از یک جفت آغازگر اختصاصی، cDNA *IGF1* تکثیر و با استفاده از سایتها برشی تعییه شده در ساختار آغازگر در ناقل پایه pMCS5 وارد گردید. با توجه به مزایای غلات بدليل کشت وسیع، بیوماس بالا، قابلیت ذخیره دانه و قابلیت استفاده خوراکی برای تولید پروتئین‌های دارویی، پس از توالی‌یابی، cDNA در یک ناقل مناسب برای انتقال و بیان پروتئین در غلات همسانه‌سازی گردید. همچنین با توجه به اینکه کلروپلاست‌های ترا ریخت پتانسیل بیشتری برای تولید پروتئین نوترکیب عملکردی در سطوح بالا دارند، cDNA توالی‌یابی شده در دو ناقل اختصاصی برای انتقال و بیان *IGF1* در کلروپلاست توتون نیز همسانه‌سازی گردید. در یکی از این ناقلهای ژن گزینشگر بوسیله دو توالی مستقیم LoxP احاطه شده تا امکان حذف ژن انتخابگر از طریق سیستم Cre/Lox پس از گرینش گیاهان ترا ریخت فراهم گردد.

کلمات کلیدی: فاکتور رشد شبه انسولین-۱، همسانه‌سازی، انتقال ژن، پروتئین نوترکیب، ناقل بیانی.

مقدمه

فراهم می‌کنند. گیاهان دارای مزایای متعددی برای تولید پروتئین‌های نوترکیب هستند، از جمله هزینه پایین کشت گیاهان در سطح وسیع، دارا بودن اندام‌های طبیعی برای ذخیره پروتئین از قبیل دانه و وجود روش‌های توسعه یافته برای برداشت، حمل و نقل، ذخیره و فرآوری آنها (Kusnadi *et al.*, 1997). تخمین زده می‌شود که هزینه تولید پروتئین‌های نوترکیب در گیاهان حدود ۱۰ تا ۵۰ برابر کمتر از هزینه‌های تولید در باکتری باشد (Giddings *et al.*, 2000). تولید IGF1 در گیاهان برای اولین بار در توتون و برج (Panahi *et al.*, 2004) صورت گرفته است (Daniell *et al.*, 2009a) همچنین، تولید IGF1 در کلروپلاست‌های تراریخت توتون (Li *et al.*, 2011) نیز گزارش شده است. با این حال تا کنون گزارشی در خصوص همسانه‌سازی ژن کد کننده IGF1 و یا بیان این پروتئین در ایران ارائه نشده است. با توجه به اینکه همسانه‌سازی بی‌نقص ژن کد کننده این پروتئین در ناقل‌های بیانی مناسب گیاه از مهمترین مراحل انتقال و بیان موفق آن در گیاه می‌باشد، در این تحقیق تلاش گردید تا cDNA ژن IGF1 از سلولهای انسانی جداسازی و در ناقل‌های مناسب برای انتقال و بیان در گیاهان مهم، از قبیل غلاتی مانند ذرت و گندم همسانه‌سازی گردد.

فاکتور رشد شبه انسولین-۱ (IGF1) یک هورمون آنابولیکی کبدی است که رشد و تمایز اکثر سلولها را القا کرده و در ترمیم و بازسازی بافتها نقش اساسی بازی می‌کند (Jones & Clemmons, 1995) در بدن انسان، افرادی که دچار نقص در تولید این پروتئین هستند، رنج زیادی را تحمل می‌کنند (Kim & Lee, 1996) درمان کمبود IGF1 در افراد بیمار نیازمند تزریق روزانه حدود ۱/۵-۲ میلی گرم از آن می‌باشد. بنابراین، درمان با IGF1 بدلیل نیاز حدود ۶۰۰ میلی گرم در سال برای یک بیمار، بسیار پرهزینه می‌باشد. علاوه بر آن، IGF1 در درمان بیماری‌های دیگری از قبیل Kottolagi (Laron *et al.*, 1992b)، دیابت (Ebeling *et al.*, 1993) و پوکی استخوان (et al., 1993) نیز کاربرد دارد. در حال حاضر، بیشتر E. coli مورد نیاز از طریق بیان در باکتری Gill *et al.*, 1998a) (Joly *et al.*, 1999) و یا مخمر (1999) تامین می‌شود. با این حال، این سیستم‌ها دارای معایبی از قبیل هزینه بالای ساخت و نگهداری فرماناتورها، عدم انجام تغییرات پس از ترجمه (Philippou *et al.*, 2014) و تشکیل تجمعات پروتئینی^۱ در باکتریها و تنوع مشاهده شده در فعالیت بیولوژیکی IGF1 تولید شده در مخمر می‌باشند (Daniell *et al.*, 2009a). گیاهان تراریخت، سیستم‌های مناسبی برای تولید پروتئین‌های نوترکیب در سطوح تجاری و صنعتی

^۱Inclusion bodies

مواد و روش‌ها

بالا دست آغازگر روبه جلو، سایت برشی *NdeI* و در پایین دست آغازگر روبه عقب، سایت برشی *BamHI* طراحی گردید. توالی کدون‌های آغاز و پایان ژن نیز به ترتیب در ساختار آغازگرهای روبه جلو و روبه عقب با حروف پررنگ مشخص شده‌اند. برنامه PCR شامل یک مرحله ۴ دقیقه ای در دمای ۴۵°C، ۹۵°C ۳۰ چرخه، هر کدام شامل ۵s در ۷۲°C، ۹۵°C ۴۵s در ۵۵°C و ۶۰s در ۶۰°C و در پایان، یک مرحله ۱۰ دقیقه‌ای در دمای ۷۲°C بود. خالص‌سازی قطعات DNA از روی ژل DNA Ambiclean آغاز با استفاده از کیت (شرکت Vivantis-مالزی) و بر اساس دستورالعمل توصیه شده توسط شرکت سازنده انجام گردید. در واکنش‌های اتصال^۱، مواد لازم برای ۱۵ میکرولیتر واکنش شامل ۳۰۰-۱۰۰۰ نانوگرم DNA ناقل برش یافته با آنزیمهای مورد نظر، DNA T4-DNA ligase با تیوب ۱۰×T4-DNA ligase، در تیوب ۵ واحد آنزیم T4-DNA ligase، در تیوب ریخته شده و در دمای ۱۶°C به مدت یک شب قرار داده شدند. برای استخراج پلاسمید از روش پیشنهاد شده توسط Birnboim و Doly استفاده شد (Birnboim & Doly, 1979). اسیدهای نوکلئیک از طریق اندازه گیری چگالی نوری و یا الکتروفورز روی ژل آغاز تعیین گردید. از بسته نرم افزاری 7 Lasergene برای طراحی آغازگرها و شبیه‌سازی و انتخاب مناسب‌ترین راهبرد برای همسانه‌سازی استفاده گردید.

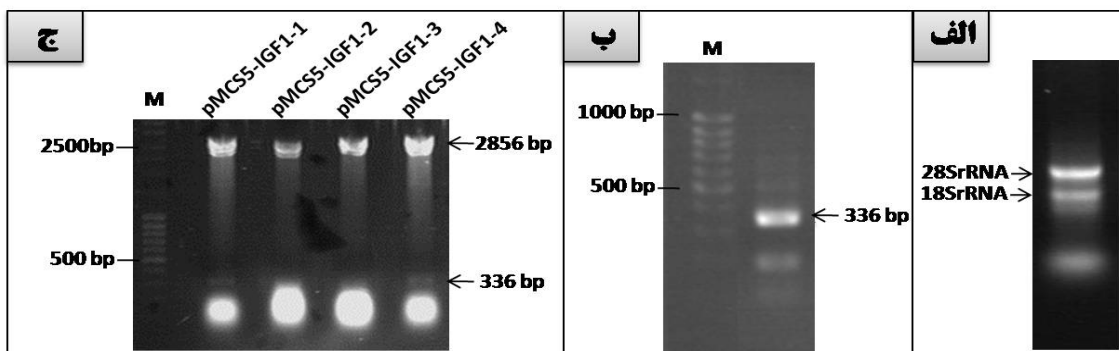
جهت جداسازی cDNA ژن مربوط به فاکتور رشد شبه انسولین ۱ انسانی (*IGF1*)، ابتدا RNA کل از سلول‌های کشت شده در محیط درون‌شیشه‌ای جداسازی شد. برای این منظور، in vitro (تهیه شده از انسیتو پاستور-استراسبورگ-فرانسه) در ازت مایع کوبیده شد. سپس، RNA کل با استفاده از روش تریزول استخراج گردید. برای تهیه cDNA، ۱۴ میکرولیتر محلول واکنش حاوی ۵ μg از RNA استخراج شده، ۱۰ mM از پیکومول الیگونوکلوتید پلی T، ۱۰ mM dNTP، در دمای ۶۵°C قرار داده شد و پس از ۵ دقیقه، بلافاصله روی یخ منتقل گردید. پس از یک دقیقه، ۴ μl بافر ۵ برابر غلظت مخصوص واکنش رونویسی معکوس، ۱ میکرولیتر DTT ۰/۱ مولار، ۱ میکرولیتر آنزیم رونویسی ۵۰ میلی‌مولار و ۰/۵ میکرولیتر آنزیم رونویسی معکوس Super Script III، به محلول واکنش اضافه گردید. سنتز رشته اول به مدت ۱ ساعت در دمای ۵۰°C انجام گرفت. برای تکثیر cDNA کامل مربوط به ژن *IGF1* از جفت ۵'-AAA آغازگر اختصاصی ژن *IGF1* شامل CAT ATG GGA CCG GAG ACG CTC ۵'-GG GGA TCC CTA CAT TG-3' و CCT GTA GTT CTT GTT TCC T-3' ترتیب آغازگر روبه جلو و روبه عقب بودند و بر اساس توالی‌های موجود در سایت NCBI (کد دسترسي NM-000618) طراحی گردیدند، استفاده شد. همچنانکه مشخص است، در

¹ Ligation

ترین روش برای انتقال ژن به غلات می‌باشد (Panstruga, 2004). برای این منظور تلاش گردید که ناقل طراحی شده ویژگیهای یک ناقل مناسب برای انتقال ژن به روش ریزپرتابی از قبیل اندازه کوچک و قدرت همانندسازی بیشتر در باکتری *E. coli* را داشته باشد. یکی از مهمترین ساختارهای ناقل بیانی، تهیه کاست بیانی برای ژن هدف به منظور تضمین بیان مناسب پروتئین هدف می‌باشد. برای این منظور ابتدا cDNA IGF1 با استفاده از سایتهاي برشی EcoRV (انتهاي صاف) و SphI از ناقل pFF19G (انتهاي صاف) و SmaI (اهدائی پروفسور بوک-انستیتو ماکس پلانک آلمان) بجای توالی ژن GUS همسانه‌سازی گردید. بنابراین، در ناقل نوترکیب حاصل که کاست بیان یک ژن گزینشگر مناسب نیز در ناقل نوترکیب حاصل وارد می‌شد. مطالعات نشان داده‌اند که اکثر گیاهان تکلیپه و بویژه غلات برای باززایی گیاه کامل از سلولهای تراریخت به یک دوره جنین‌زاوی سوماتیکی در تاریکی نیاز دارند (Ahmadabadi *et al.*, 2007).

نتایج و بحث

پس از تایید کیفیت RNAی استخراجی (شکل ۱-الف) و سنتز cDNA، چارچوب ترجمه IGF1 با اندازه ۳۳۶ bp تکثیر گردید (شکل ۱-ب). سپس، قطعه تکثیر شده در ناقل (MoBiTec GmbH) pMCS5 برشی *NdeI* و *BamHI* همسانه‌سازی گردید. از انتقال نصف محصول اتصال به باکتری *E. coli* حدود ۵۰ کلونی روی محیط گزینشی تشکیل شد. حدود ۱۰ کلونی با PCR بررسی و پس از تایید اولیه، تایید نهایی تعدادی از آنها با هضم آنزیمی انجام گرفت (شکل ۱-ج). نتیجه توالی-یابی نشان داد که ۲ کلونی حاوی توالی کاملاً مشابه با توالی ثبت شده در NCBI می‌باشدند. یکی از این پلاسمیدها (که pMCS5-IGF1 نامگذاری گردید، شکل ۲-الف)، برای مرحله بعدی همسانه‌سازی و تهیه ناقل‌های بیانی مورد استفاده قرار گرفت. در مرحله بعد تلاش گردید تا cDNA همسانه‌سازی شده، در ناقل بیانی مناسب برای گیاهان قرار داده شود. برخی ویژگی‌های مهم غلات از قبیل دامنه و سطح وسیع کشت، بیوماس بالا و خاصیت انبارداری، غلات را به بیورآکتورهای مناسبی برای تولید و ذخیره واکسن‌های انسانی تبدیل کرده است (Hefferon, 2009). بنابراین، طراحی و ساخت یک ناقل بیان مناسب برای انتقال و بیان ژن IGF1 در غلات در دستور کار قرار گرفت. بر اساس مطالعات انجام شده، ریزپرتابی مناسب-



شکل ۱- (الف) تصویر الکتروفورز نمونه RNAی استخراج شده از سلولهای انسانی کشت شده در شرایط درون شیشه‌ای. (ب) تصویر الکتروفورز محصول PCR حاصل از تکثیر cDNAی ژن IGF1 (با اندازه ۳۳۶ bp)، با استفاده از جفت آغازگر اختصاصی. (ج) تصویر الکتروفورز محصول هضم آنزیمی ناقل نوترکیب pMCS5-IGF1 با آنزیمهای برشی NdeI و BamHI تشکیل باند ۳۳۶ جفت بازی، همسانه‌سازی موفق ژن IGF1 در بین سایتهای برشی BamHI و NdeI ناقل پایه pMCS5 را نشان می‌دهد. شماره‌های ۱، ۲، ۳ و ۴، نشان‌دهنده چهار کلونی مستقل حاصل از انتقال محصول اتصال به باکتری E. coli می‌باشند. M: مارکر (Thermo Scientific O'GeneRuler DNA Ladder Mix).

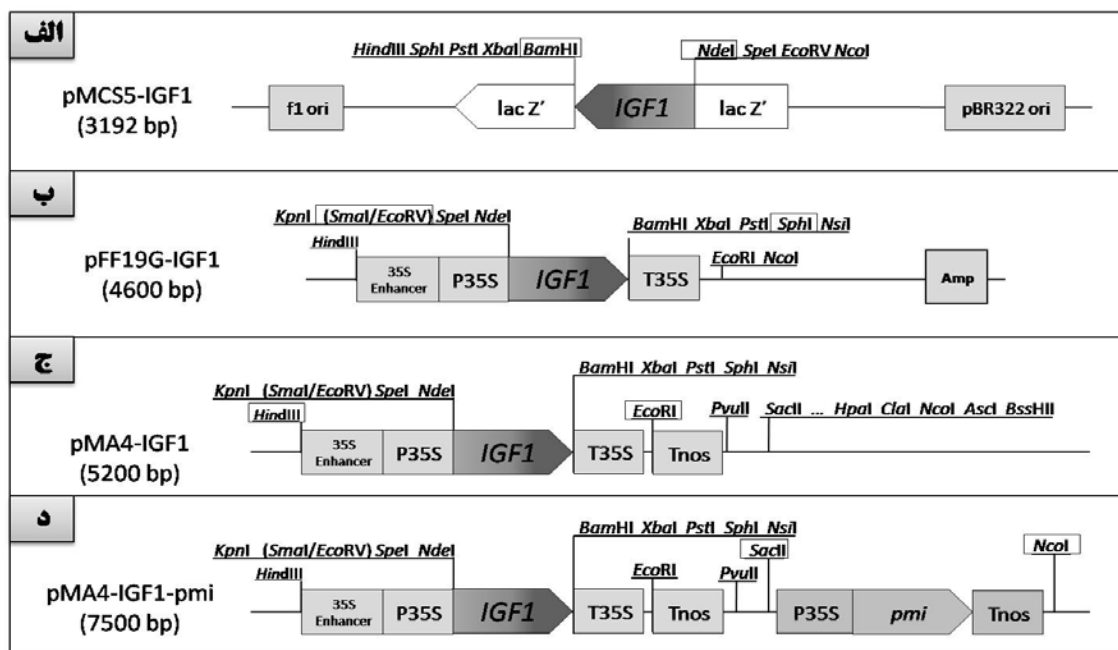
Figure 1- (A) Agarose gel electrophoresis of RNA extracted from human cells in *in vitro* culture conditions. (B) PCR products amplified from cDNA of the IGF1 gene (size 336 bp), using specific primers. (C) Gel electrophoresis of enzymatic digestion products of pMCS5-IGF1 recombinant vector cut with the NdeI and BamHI enzymes. Amplification of a 336 bp band shows the successful cloning of the IGF1 cDNA between NdeI and BamHI sites of the pMCS5 basic vector. Numbers 1, 2, 3 and 4 represent four independent colonies obtained from *E. coli* transformation with ligation product. M: marker (Thermo Scientific O'GeneRuler DNA Ladder Mix).

زیستی نیز نسبت به سایر ژنهای گزینشگر دارای مزیت می‌باشد. بنابراین، در مرحله بعد، استراتژی مناسب برای جاسازی کاست بیان ژن pmi (که قبلا در آزمایشگاه بیوتکنولوژی دانشگاه شهید مدنی آذربایجان از باکتری *E. coli* جdasازی و همسانه‌سازی شده بود) در ناقل pFF19G-IGF1 طراحی گردید. با توجه به محدود بودن سایتهای NcoI در پیکره این ناقل به EcoRI و pmi (شکل ۲-ب) که امکان جاسازی کاست ژن

بنابراین، برای گزینش کارآمد، بهتر است از سیستمی استفاده شود که در تاریکی بیشترین کارآیی را داشته باشد. ژن فسفومانوز ایزومراز (pmi) بعنوان یک ژن گزینشگر مناسب برای غلات بویژه گندم و ذرت معرفی شده است ; Wright *et al.*, Ahmadabadi *et al.*, 2007). این ژن علاوه بر کارآیی بالای گزینش در تاریکی، هیچگونه مقاومتی در برابر آنتی‌بیوتیکها و یا داروها ایجاد نمی‌کند. لذا از نظر ایمنی-

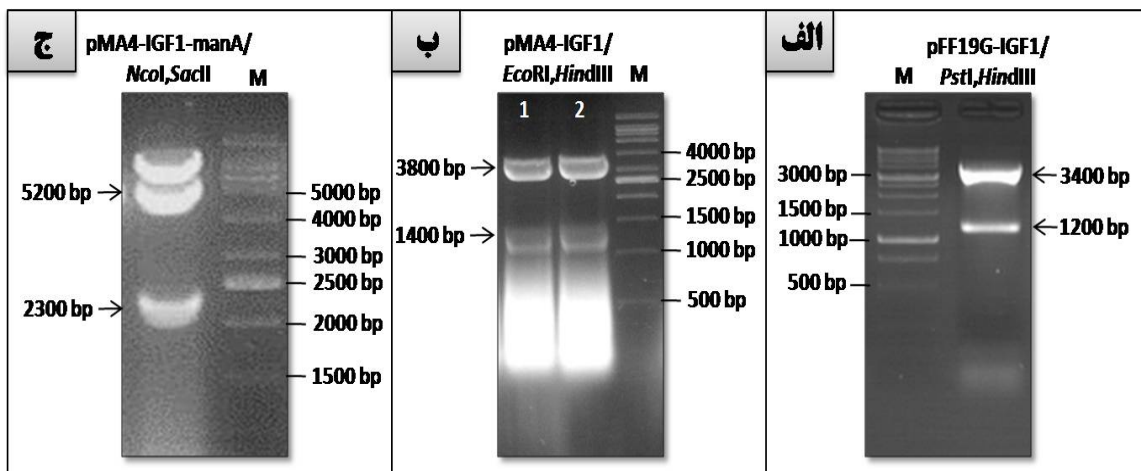
وکتور بیانی حاصل که pMA4-IGF1-pmi (شکل ۲-د) نامگذاری گردید، برای انتقال پایدار ژن *IGF1* به روش ریزپرتابی به غلاتی از قبیل ذرت و گندم که فاقد ژن *pmi* می‌باشند، مناسب می‌باشد. لازم به ذکر است که جاسازی ژن در تمام ناقل‌های نوترکیب حاصل در هر مرحله توسط PCR و هضم آنزیمی تایید گردید که نتایج تایید بوسیله هضم آنزیمی بدلیل اهمیت در شکل ۳ نشان داده شده است.

Ahmadabadi, (۲۰۰۷) (۲۰۰۷) عنوان ناقل واسطه برای تجمعی کاستهای بیان دو ژن *pmi* و *IGF1* استفاده گردید. برای این منظور ابتدا کاست بیان ژن *IGF1* با استفاده از سایتها بر شی *EcoRI* و *HindIII* در ناقل pMA4 جاسازی گردید تا ناقل نوترکیب pMA4-IGF1 (شکل ۲-ج) تشکیل شود. سپس کاست بیان *pmi* با استفاده از سایتها بر شی *NcoI* در ناقل pMA4-IGF1 و در کنار *NcoI* و در کنار *SacII* کاست بیان ژن *IGF1* همسانه‌سازی گردید.



شکل ۲- نقشه ناقل‌های pMCS5-IGF1 (الف)، pFF19G-IGF1 (ب)، pMA4-IGF1 (ج) و pMA4-IGF1-pmi (د). سایتها بر شی که برای درج قطعه بین آنها در پیکره ناقل مناسب استفاده شدند، با کادر مشخص شده‌اند.

Figure 2- Schematic diagrams of vectors pMCS5-IGF1 (A), pFF19G-IGF1 (B), pMA4-IGF1 (c) and pMA4-IGF1-pmi (d). Restriction sites used for integration of target fragments into suitable vectors are marked with boxes.



شکل ۳- (الف) تصویر الکتروفورز محصول هضم آنزیمی ناقل نوترکیب pFF19G-IGF1 با آنزیمهای برشی *PstI* و *HindIII* تشکیل باند ۱۲۰۰ جفت بازی (شامل توالی *IGF1* و توالی‌های راهانداز ۳۵S)، همسانه‌سازی موفق cDNA ژن *IGF1* در پایین دست توالی‌های راهانداز ۳۵S در ناقل pFF19G را نشان می‌دهد. (ب) تصویر الکتروفورز محصول هضم آنزیمی ناقل نوترکیب pMA4-IGF1 با آنزیمهای برشی *EcoRI* و *HindIII* تشکیل باند ۱۴۰۰ جفت بازی (شامل توالی *IGF1* و توالی‌های راهانداز و ترمیناتور ۳۵S)، همسانه‌سازی موفق کاست بیان *IGF1* بین سایتهای برشی *EcoRI* و *HindIII* در ناقل pMA4-IGF1- pMA4 را نشان می‌دهد. (ج) تصویر الکتروفورز محصول هضم آنزیمی ناقل نوترکیب pMA4-IGF1-pmi با آنزیمهای برشی *NcoI* و *SacII* تشکیل باند ۲۳۰۰ جفت بازی، نشان دهنده همسانه‌سازی موفق کاست بیان *pmi* بین سایتهای برشی *NcoI* و *SacII* در ناقل pMA4-IGF1 در میان pMA4 می‌باشد. M: مارکر VC 1kb DNA Ladder, Generuler™ 1 kb DNA Ladder, Fermentas (الف: ج: Vivantis).

Figure 3- (A) Gel electrophoresis of enzymatic digestion products of pFF19G-IGF1 recombinant vector cut with the enzymes *PstI* and *HindIII*. The 1200 bp band (including *IGF1* and the 35S promoter sequences), show successful cloning of *IGF1* cDNA downstream of the 35S promoter in vector pFF19G. (B) Electrophoresis of enzymatic digestion products of pMA4-IGF1 recombinant vector cut with the enzymes *EcoRI* and *HindIII*. The 1400 bp band (including the *IGF1* and the 35S promoter and terminator sequences), show successful cloning of *IGF1* expression cassette between the *EcoRI* and *HindIII* sites of the vector pMA4. (C) Electrophoresis of enzymatic digestion products of pMA4-IGF1-pmi recombinant vector cut with the enzymes *NcoI* and *SacII*. Observation of the 2300 bp band related to the *pmi* expression cassette indicate its successful cloning between the *NcoI* and *SacII* sites in pMA4-IGF1 vector. M: marker.

Daniell *et al.*, 2009b) بسیار زیادی قرار گیرد (Daniell *et al.*, 2009b; Maliga, 2004; Rigano *et al.*, 2007). بنابراین، در این مطالعه سعی گردید ناقل-های مناسب برای انتقال و بیان *IGF1* در کلروپلاست تهیه شود. با توجه به اینکه در حال حاضر انتقال ژن به کلروپلاست تنها در توتون دارای کارآیی قابل قبول می‌باشد (Rigano *et al.*, 2007)، لذا در این تحقیق ناقلهای مناسب برای انتقال و بیان *IGF1* در کلروپلاست‌های توتون نیز pRB94 تهیه گردید. برای این منظور از ناقلهای Kuroda & Lutz *et al.*, 2007) (Maliga, 2001) (شکل ۴) استفاده گردید. با توجه به اینکه بیان موفق ژنها در کلروپلاست نیاز به عوامل رونویسی و ترجمه اختصاصی کلروپلاست دارد، لذا در مرحله اول تهیه کاست بیانی مناسب برای بیان ژن *IGF1* در کلروپلاست در دستور کار قرار گرفت.

برای این منظور، cDNA آنژیمهای *XbaI* و *NdeI* با استفاده از آنژیمهای برشی *pMCS5-IGF1* (شکل ۲-الف) جداسازی و در ناقل *pHK20* (شکل ۴-الف) جایگزین توالی ژن *nptII* گردید.

بنابراین، در ناقل نوترکیب حاصل که *pHK20-IGF1* نامیده شد (شکل ۴-ب)، کاست بیان کلروپلاستی *IGF1* تحت کنترل راه انداز کلروپلاستی *Prrn* و ترمیناتور *TrbcL* توتون تشکیل گردید.

همچنان که اشاره گردید، گیاهان تاریخت سیستم‌های بیان مناسبی برای تولید پروتئین‌های نوترکیب در مقیاس بالا در سطوح صنعتی می‌باشند. با این وجود، مشکل عمده در بیان پروتئین‌های انسانی از طریق ژنوم هسته، پایین بودن سطح بیان آنها می‌باشد که اکثراً کمتر از ۱٪ کل پروتئین‌های محلول می‌باشد. برای مثال، سطح بیان ژن *IGF1* در هسته توتون و برنج بعد از بهینه کردن شرایط بیان ژن، به حدود ۱۱۳-۲۲ ng/mg رسیده است (Panahi *et al.*, 2004). مطالعات نشان می‌دهند که کلروپلاست‌ها اندامکهای مناسب‌تری برای بیان پروتئین‌های نوترکیب در سطوح بالا می‌باشد، بطوریکه گاهی اوقات میزان بیان پروتئین نوترکیب تا حدود ۵۰٪ از کل پروتئین محلول قابل افزایش است (Daniell *et al.*, 2009a).

علاوه بر آن، انتقال ژن به کلروپلاست دارای مزایای دیگری از قبیل عدم وجود اثر محل ژن^۱ (با توجه به انتقال دقیق ژن خارجی در قسمت مشخصی از ژنوم کلروپلاست)، عدم وجود خاموشی ژن، امکان بیان همزمان چندین پروتئین (با توجه به ماهیت پلی‌سیسترونیک بودن سیستم بیان ژن در کلروپلاست) و عدم امکان انتقال ژن خارجی به خویشاوندان وحشی (به دلیل توارث مادری کلروپلاست‌ها) می‌باشد که باعث شده در سال‌های اخیر بیان پروتئین‌های نوترکیب و دارویی در کلروپلاست مورد توجه

^۱ Position effect

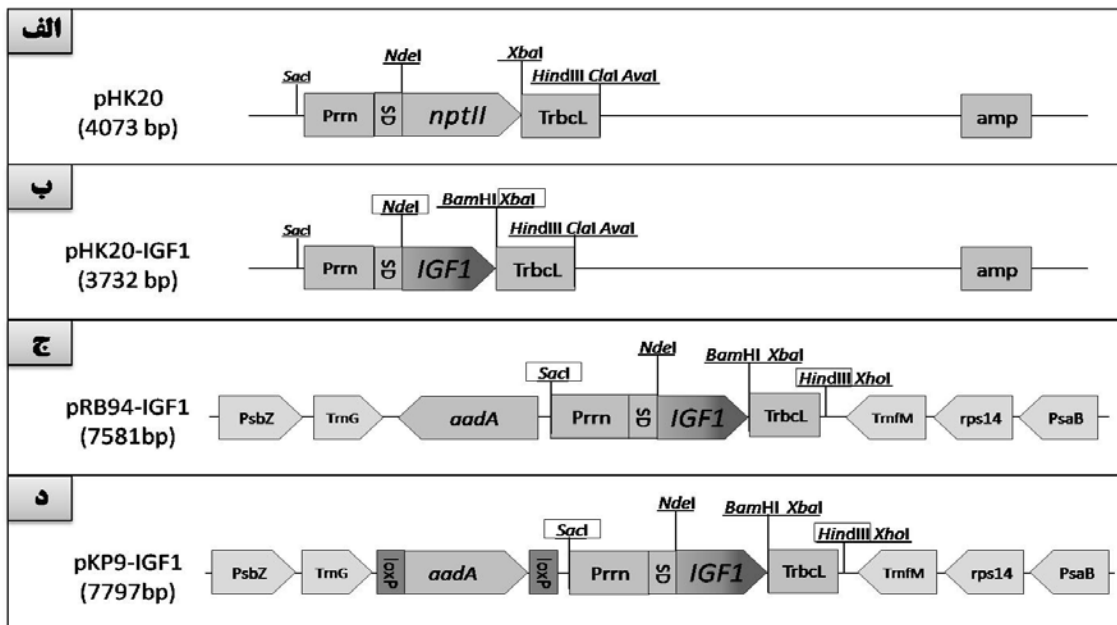
بنابراین، برای تهیه ناقل بیانی کلروپلاستی، کاست بیان کلروپلاستی *IGF1* با استفاده از سایتهاي برشی *SacI* و *HindIII* از ناقل *pHK20-IGF1* جداسازی و در ناقل *pRB94* با استفاده از همين سایتهاي برشی، در کنار کاست بیانی ژن گزینشگر همسانه‌سازی گردید. ناقل بیانی حاصل که *pRB94-IGF1* نامگذاري گردید (شکل ۴-ج) برای انتقال پایدار و بیان *IGF1* در کلروپلاست توتون مناسب می‌باشد.

با توجه به اينکه ژن گزینشگر *aadA* موجب ایجاد مقاومت در برابر آنتی بیوتيکهاي آمينوگلیکوزيدی از قبيل اسپكتينومايسين و استريپтомايسين می‌شود (Maliga, 2004)، و بنابراین، عدم حذف اين نوع ژن‌ها از محصولات تراريخت مقبولیت زیست-محیطی آنها را کاهش می‌دهد،

لذا تلاش گردید تا ناقلی طراحی شود که امكان حذف ژن گزینشگر پس از انتقال موفق و پایدار ژن *IGF1* به کلروپلاستهاي توتون را فراهم نماید. برای اين منظور از ناقل *pKP9* (Zhou et al., 2008) (اهدایي پروفسور بوک-انستيتو ماکس پلانک آلمان) استفاده گردید.

علاوه بر کاست بیان ژن هدف، ناقل بیان کلروپلاستی باید دو ویژگی مهم دیگر را داشته باشد. اول اينکه يك ژن گزینشگر مناسب که بیان آن نيز باید تحت كتترل عوامل بیانی کلروپلاستی باشد، در کنار کاست ژن هدف درج گردد. دوم اينکه با توجه به کارآمد بودن سیستم نوترکیبی هومولوگی در کلروپلاست، با درج ژن هدف بین دو توالی مشابه با قسمتی از ژنوم کلروپلاست، ژن هدف دقیقا در محل مورد نظر در ژنوم کلروپلاست درج می‌شود (Maliga, 2004).

بنابراین، لازم بود تا کاست بیان تهیه شده در بین توالیهاي هومولوگ تعیین شده همسانه-سازی شود. برای برآورده کردن این دو شرط، از ناقل *pRB94* (Lutz et al., 2007) که يك ناقل کلروپلاستی می‌باشد، استفاده گردید. در اين ناقل، کاست بیانی ژن گزینشگر *aadA* در بین توالیهاي مشابه با قسمتی از ژنوم کلروپلاست توتون (توالی ۰۲۱۰-۴۰۲۱۰، کد دسترسي NC_001879.2) درج شده است. طراحی چندین سایت برشی واحد نيز درج ژنهای هدف در کنار کاست ژن گزینشگر را امكان پذير کرده است.



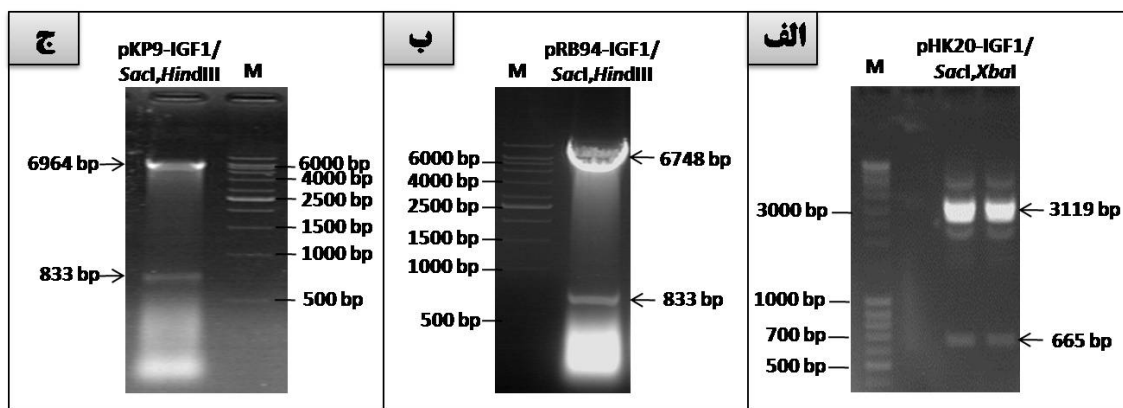
شکل ۴- نقشه ناقلهای ناقلهای pHK20 (الف)، pHK20-IGF1 (ب)، pRB94-IGF1 (ج) و pKP9-IGF1 (د). سایتهای برشی که برای درج قطعه هدف در پیکره ناقل مربوطه استفاده شدند، با کادر مشخص شده‌اند. ناقلهای بیان *pKP9-IGF1* و *pRB94-IGF1* برای انتقال و بیان *IGF1* در کلروپلاست گیاه توتون مناسب می‌باشند. تفاوت عمدۀ دو ناقل در جهت ژن گزینشگر *aadA* و نیز وجود توالی‌های تکراری مستقیم *LoxP* در *pKP9-IGF1* می‌باشد که این توالی‌ها پس از انتقال پایدار *IGF1* امکان حذف ژن گزینشگر را با استفاده از *Cre/Lox* سیستم فراهم می‌کنند. SD: توالی شاین دالگارنو.

Figure 4- Schematic picture of vectors pHK20 (b), pHK20-IGF1 (B), pRB94-IGF1 (c) and pKP9-IGF1 (d). The restriction sites used for integration of target fragments into suitable vectors are marked with boxes. pRB94-IGF1 and PKP9-IGF1 expression vectors are suitable for integration and expression of *IGF1* gene in chloroplasts of tobacco plants. The main difference between the two vectors is the transcription direction of *aadA* selectable marker gene and also two directly repeated *LoxP* sequences flanking this gene in pKP9-IGF1, facilitating the marker gene deletion after stable integration of *IGF1*, using *Cre/Lox* system. SD: Shine Dalgarno sequence.

Lutz *et al.*, 2006). ناقلهای تراریخت می‌شود (کلروپلاستهای تراریخت می‌باشد، کاست ژن *IGF1* داخل این ناقل با استفاده از سایتهای برشی *SacI* و *HindIII* نامگذاری گردید (شکل ۴-د). لازم به ذکر است که در این آزمایشها نیز، تمام ناقلهای نوترکیب حاصل در هر مرحله، توسط PCR و هضم

این ناقل کاملا مشابه ناقل pRB94 می‌باشد، با این تفاوت که جهت ژن گزینشگر تغییر کرده و ۲ توالی تکراری مستقیم *LoxP* در دو طرف آن تعبیه گردیده است. این توالی بصورت اختصاصی توسط ریکامبیناز *Cre* قابل شناسایی می‌باشد و در حضور این آنزیم، نوترکیبی بین این دو توالی موجب جدا شدن ژن گزینشگر از ژنومهای

آنزیمی در شکل ۵ نشان داده است.



شکل ۵- (الف) تصویر الکتروفورز محصول هضم آنزیمی ناقل نوترکیب pHK20-IGF1 با آنزیمهای برشی *SacI* و *XbaI* تشکیل باند ۶۶۵ جفت بازی (شامل توالی *IGF1* و توالی های راه انداز *Prrn*)، همسانه سازی موفق cDNA ژن *IGF1* در پایین دست توالی های راه انداز *Prrn* در ناقل pHK20 را نشان می دهد. (ب) تصویر الکتروفورز محصول هضم آنزیمی ناقل نوترکیب pRB94-IGF1 با آنزیمهای برشی *SacI* و *HindIII* تشکیل باند ۸۳۳ جفت بازی (شامل توالی *IGF1* و توالی های راه انداز *Prrn* و ترمیناتور *TrbcL*)، همسانه سازی موفق کاست بیان *IGF1* بین سایتهای برشی *SacI* و *HindIII* در ناقل pRB94 را نشان می دهد. (ج) تصویر الکتروفورز محصول هضم آنزیمی ناقل نوترکیب pKP9-IGF1 با آنزیمهای برشی *SacI* و *HindIII* تشکیل باند ۸۳۳ جفت بازی، همسانه سازی موفق کاست بیان *IGF1* بین سایتهای برشی *SacI* و *HindIII* در ناقل pKP9 را نشان می دهد. مارکر (الف: Thermo Scientific O'GeneRuler DNA Ladder Mix؛ ب و ج: VC 1kb DNA Ladder, Vivantis).

Figure 5- (A) Gel electrophoresis of enzymatic digestion product of pHK20-IGF1 recombinant vector cut with the enzymes *SacI* and *XbaI*. The 665 bp band (including the *IGF1* and the *Prrn* promoter sequences), indicates successful cloning of the *IGF1* cDNA sequences downstream of the *Prrn* promoter in the pHK20 vector. (B) Electrophoresis of enzymatic digestion products of pRB94-IGF1 recombinant vector cut with the enzymes *SacI* and *HindIII*. The 833 bp band (including the *IGF1* cDNA, *Prrn* promoter and *TrbcL* terminator sequences), verifies successful cloning of *IGF1* expression cassette between the *SacI* and *HindIII* sites of the vector pRB94. (C) Gel electrophoresis of enzymatic digestion products of pKP9-IGF1 recombinant vector cut with the enzymes *SacI* and *HindIII*. Observation of the 833 bp fragment, demonstrates correctly cloning of *IGF1* expression cassette between the *SacI* and *HindIII* sites of the vector pKP9. M: marker.

نتیجه‌گیری کلی

Wright *et al.*, Ahmadabadi *et al.*, 2007) 2001). از آنجاکه این ژن هیچ نوع مقاومتی در برابر آنتیبیوتیکها و داروها ایجاد نمی‌کند، از نظر ایمنی-زیستی نیز مطلوب‌تر بوده و نیازی به حذف آن پس از تولید گیاهان تاریخت نمی‌باشد. از طرف دیگر، مطالعات نشان داده که خطی کردن ناقل و حذف توالی‌های اضافی آن و انتقال قطعه خطی حاوی تنها ژنهای مورد نظر، موجب افزایش احتمال تولید گیاهان تاریخت حاوی تنها یک نسخه از ژن هدف شده و احتمال خاموشی ژن و خطرات ایمنی-زیستی را کاهش می‌دهد (Fu *et al.*, 2000). ناقل نوترکیب حاصل به گونه‌ای طراحی شده که پس از تکثیر آن، قطعه حاوی ژن هدف و ژن انتخابگر براحتی می‌تواند با استفاده از آنزیم‌های *NcoI* و *HindIII* و *pma4* به روش ریزپرتابی انتقال داده شود. البته لازم به ذکر است که *35S* یک راهانداز عمومی است، و با توجه به اینکه دانه غلات مناسب‌ترین بافت برای ذخیره و استفاده مستقیم داروهای خوراکی می‌باشد (Yue *et al.*, Chen *et al.*, 2014)؛ Yue *et al.*, Chen *et al.*, 2014)، استفاده از یک راهانداز اختصاصی دانه می‌تواند در افزایش کارآیی تولید و ذخیره پروتئین و نیز کاهش تاثیر بیان پروتئین در مراحل رشد و تکامل گیاه موثر باشد.

بیان ژن خارجی در کلروپلاست می‌تواند سطح بیان پروتئین نوترکیب را تا چندین برابر نسبت به بیان آن از طریق هسته افزایش دهد (Daniell *et al.*, 2009b).

گسترش روز افرون نیاز به پروتئین‌های دارویی در تمام کشورها و به خصوص کشور ما، نیاز به ایجاد سیستم‌های کارآمد تولید چنین فرآورده‌هایی را دو چندان می‌کند. یکی از پروتئین‌هایی که در حال حاضر برای درمان دامنه‌ی وسیعی از بیماری‌های مختلف استفاده می‌شود، فاکتور رشد شبه انسولین ۱ یا IGF1 است (Castilla-Castilla-Cortazar *et al.*, 1997; Cortazar *et al.*, 2000; Laron *et al.*, 1992a; Threlkill *et al.*, 1997). تا به حال این فاکتور بیشتر در باکتری *E. coli* (Joly *et al.*, 1998b) و *Gill et al.*, 1999) تولید شده است (*S. cerevisiae* مخمر (al., 1999)، ولی به علت مشکلات موجود در این اргانیسم‌ها و همچنین مزیت‌های عملده‌ی سیستم‌های بیان گیاهی، در سالهای اخیر تولید این پروتئین در گیاهان مورد توجه قرار گرفته است (Li *et al.*, 2011; Daniell *et al.*, 2009b). یکی از ابزار ضروری برای انتقال و بیان پایدار و کارآمد پروتئین‌های خارجی در گیاهان، ساخت ناقل‌های بیانی مناسب می‌باشد. در این تحقیق ناقل‌های بیان مناسب برای انتقال پایدار cDNA ژن انسانی *IGF1* به گیاهان زراعی بویژه غلات تهییه گردید. ناقل نوترکیب حاصل که *pMA4-IGF1-pmi* (شکل ۲-د) نامگذاری گردید، حاوی کاست بیان ژن *IGF1* تحت کنترل عوامل تنظیم بیان ژن *35S* از ویروس موزائیک گل‌کلم و کاست بیان ژن انتخابگر *pmi* می‌باشد. این ژن برای گزینش کالوسهای تاریخت در غلاتی از قبیل ذرت و گندم بسیار مناسب می‌باشد.

بيان پروتئين IGF1 در گیاه خوراکی کاهو نیز مورد استفاده قرار گیرد. اضافه می‌شود که ناقل pRB94 قبل نیز بصورت موفقیت‌آمیز برای انتقال پایدار ژن به کلروپلاست گیاه گوجه‌فرنگی استفاده شده است (Zhou et al., Ruf et al., 2001; Zhou et al., 2008). این پژوهش، یکی از ابزارهای لازم برای تولید پروتئین IGF1 در غلات مهمی از قبیل ذرت و گندم و کلروپلاست گیاهانی از قبیل توتون، کاهو و گوجه‌فرنگی را فراهم نموده است.

سپاسگزاری

از دانشگاه شهید مدنی آذربایجان و ستاد زیست‌فناوری ریاست جمهوری جهت حمایت مالی و معنوی تشکر و قدردانی می‌گردد.

مطالعه، ناقلهای مناسب برای انتقال و بیان *IGF1* در کلروپلاست‌های گیاه توتون نیز تهیه گردید. ناقلهای نوترکیب حاصل pRB94-IGF1 (شکل ۴-ج) و pKP9-IGF1 (شکل ۴-د) نامگذاری شدند. در ناقل pKP9-IGF1 ژن انتخابگر توسط دو توالی مستقیم *LoxP* احاطه شده است که امکان حذف ژن انتخابگر پس از تولید گیاهان تاریخت را فراهم می‌کنند. مقایسه‌ی توالی قطعه pRB94 ژنوم کلروپلاست توتون (که در ناقل استفاده شده) و گیاه کاهو نشان داد که تشابه بسیار زیادی بین دو گیاه برای این قطعه وجود دارد (حدود ۹۰٪) (داده‌ها نشان داده نشده‌اند). بنابراین ناقلهای حاصل علاوه بر این که برای انتقال ژن *IGF1* به کلروپلاست گیاه توتون مناسب است، بلکه به احتمال قوی می‌تواند برای

منابع

- Ahmadabadi M (2007). Development and application of novel genetic transformation technologies in maize (*Zea mays* L.). Ph.D. Thesis. Potsdam University, Potsdam-Germany.
- Ahmadabadi M, Ruf S, Bock R (2007). A leaf-based regeneration and transformation system for maize (*Zea mays* L.). Transgenic Research 16 : 437-448.
- Bach M, Chin E, Bondy C (1993). The effects of recombinant insulinlike growth factor I (IGF-I) on growth hormone, IGF-II, IGF binding protein and blood glucose levels in normal and diabetic adolescents. Pediatric Research 33 : 190-198.
- Birnboim HC, Doly J (1979). A rapid alkaline extraction procedure for screening recombinant plasmid DNA. Nucleic Acids Research 7 : 1513-1523.
- Castilla-Cortazar I, Garcia M, Muguerza B, Quiroga J, Perez R, Santidrian S, Prieto J (1997). Hepatoprotective effects of insulin-like growth factor I in rats with carbon tetrachloride-induced cirrhosis. Gastroenterology 113: 1682-1691.
- Castilla-Cortazar I, Garcia M, Quiroga J, Diez N, Diez-Caballero F, Calvo A, Diaz M, Prieto J (2000). Insulin-like growth factor-I reverts testicular atrophy in rats with advanced cirrhosis. Hepatology 31: 592-600.
- Chen MX, Zheng SX, Yang YN, Xu C, Liu JS, Yang WD, Chye ML, Li HY (2014). Strong seed-specific protein expression from the *Vigna radiata* storage protein 8SGalp promoter in transgenic *Arabidopsis* seeds. Journal of biotechnology 174: 49-56.
- Daniell H, Ruiz G, Denes B, Sandberg L, Langridge W (2009a). Optimization of codon composition and regulatory elements for expression of human insulin like growth factor-

- 1 in transgenic chloroplasts and evaluation of structural identity and function. BMC Biotechnology 9: 33.
- Daniell H, Singh ND, Mason H, Streatfield SJ (2009b). Plant-made vaccine antigens and biopharmaceuticals. Trends in Plant Sciences 14: 669-679.
- Ebeling P, Jones J, O'Fallon W, Janes C, Riggs B (1993). Short-term effects of recombinant human insulin growth factor I on bone turnover in normal women. The Journal of Clinical Endocrinology & Metabolism 77: 1384-1387.
- Fu X, Duc LT, Fontana S, Bong BB, Tinjuangjun P, Sudhakar D, Twyman RM, Christou P, Kohli A (2000). Linear transgene constructs lacking vector backbone sequences generate low-copy-number transgenic plants with simple integration patterns. Transgenic Research 9: 11-19.
- Giddings G, Allison G, Brooks D, Carter A (2000). Transgenic plant as factories for biopharmaceuticals. Nature Biotechnology 18: 1151-1155.
- Gill R, Verma C, Wallach B, Urso B, Pitts J, Wollmer A (1999). Modeling of the disulphide-swapped isomer of human insulin-like growth factor-1: implications for receptor binding. Protein Engineering 2: 297-303.
- Hefferon KL (2009). Biopharmaceuticals in Plants: Toward the Next Century of Medicine. CRC Press. Taylor & Francis Group.
- Joly JC, Leung WS, Swartz JR (1998). Overexpression of *Escherichia coli* oxidoreductases increases recombinant insulin-like growth factor-I accumulation. Proceedings of the National Academy of Sciences of the USA 95: 2773-2777.
- Jones JH, Clemmons DR (1995). Insulin like growth factors and their binding proteins: biological functions. Endocrine Reviews 16: 3-10.
- Kim S, Lee Y (1996). High-level expression and simple purification of recombinant human insulin-like growth factor I. Journal of Biotechnology 48: 97-105.
- Kuroda H, Maliga P (2001). Complementarity of the 16S rRNA penultimate stem with sequences downstream of the AUG destabilizes the plastid mRNAs. Nucleic Acids Research 29: 970-975.
- Kusnadi A, Nikolov Z, Howard J (1997). Production of recombinant proteins in transgenic plants: practical considerations. Biotechnology and Bioengineering 56: 473-484.
- Laron Z, Anin S, Klipper-Aurbach Y, Klinger B (1992). Effects of insulin-like growth factor on linear growth, head circumference, and body fat in patients with Laron-type dwarfism. The Lancet 339: 1258-1261.
- Li W, Li L, Li K, Lin J, Sun X, Tang K (2011). Expression of biologically active human insulin-like growth factor 1 in *Arabidopsis thaliana* seeds via oleosin fusion technology. Biotechnology and Applied Biochemistry 58: 139-146.
- Lutz KA, Azhagiri AK, Tungsuchat-Huang T, Maliga P (2007). A guide to choosing vectors for transformation of the plastid genome of higher plants. Plant Physiology 145: 1201-1210.
- Lutz KA, Svab Z, Maliga P (2006). Construction of marker-free transplastomic tobacco using the Cre-loxP site-specific recombination system. Nature Protocols 1: 900-910.
- Maliga P (2004). Plastid transformation in higher plants. Annual Review of Plant Biology 55: 289-313.
- Panahi M, Alli Z, Cheng X, Belbaraka L, Belgoudi J, Sardana R, Phipps J, Altosaar I (2004). Recombinant protein expression plasmids optimized for industrial *E. coli* fermentation and plant systems produce biologically active human insulin-like growth factor-1 in transgenic rice and tobacco plants. Transgenic Research 13: 245-259.
- Panstruga R (2004). A golden shot: how ballistic single cell transformation boosts the molecular analysis of cereal-mildew interactions. Molecular Plant Pathology 5: 141-148.

- Philippou A, Maridaki M, Pneumaticos S, Koutsilieris M (2014). The complexity of the IGF1 gene splicing, posttranslational modification and bioactivity. *Molecular Medicine* 20: 202-214.
- Rigano MM, Scotti N, Cardi T (2012). Unsolved problems in plastid transformation. *Bioengineered* 3: 329-333.
- Ruf S, Hermann M, Berger IJ, Carrer H, Bock R (2001). Stable genetic transformation of tomato plastids and expression of a foreign protein in fruit. *Nature Biotechnology* 19: 870-875.
- Thrailkill K, Quattrin T, Baker L, Litton J, Dwigun K, Rearson M, Poppenheimer M, Kotlovker D, Giltinan D, Gesundheit N, Martha P, Jr. (1997). Dual hormonal replacement therapy with insulin and recombinant human insulin-like growth factor (IGF)-I in insulin-dependent diabetes mellitus: effects on the growth hormone/IGF/IGF-binding protein system. *Journal of Clinical Endocrinology & Metabolism* 82: 1181-1187.
- Wright M, Dawson J, Dunder E, Suttie J, Reed J, Kramer C, Chang Y, Novitzky R, Wang H, Artim-Moore L (2001). Efficient biolistic transformation of maize (*Zea mays* L.) and wheat (*Triticum aestivum* L.) using the phosphomannose isomerase gene, pmi, as the selectable marker. *Plant Cell Reports* 20: 429-436.
- Yue J, Li C, Zhao Q, Zhu D, Yu J (2014). Seed-specific expression of a lysine-rich protein gene, GhLRP, from cotton significantly increases the lysine content in maize seeds. *International Journal of Molecular Science* 15: 5350-65.
- Zhou F, Badillo-Corona JA, Karcher D, Gonzalez-Rabade N, Piepenburg K, Borchers AM, Maloney AP, Kavanagh TA, Gray JC, Bock R (2008). High-level expression of human immunodeficiency virus antigens from the tobacco and tomato plastid genomes. *Plant Biotechnology Journal* 6: 897-913.

Cloning of human insulin-like growth factor gene in plant expression vectors

Darabi S.¹, Ramezani S.¹, Ahmadabadi M.^{2*}

¹ MSc student, Azarbaijan Shahid Madani University, Tabriz, Iran.

² Assistant professor, Azarbaijan Shahid Madani University, Tabriz, Iran

Abstract

Transgenic plants are suitable bioreactors for the production of recombinant proteins at high levels and qualities. Cloning of a gene encoding the target protein in proper expression vectors is one of the most important steps for successful integration and expression of target protein in plants. The purpose of this study was to clone insulin-like growth factor -1 (IGF1) cDNA in plant expression vectors. To this end, we amplified IGF1 cDNA using a pair of specific primer followed by its cloning in pMCS5 basic vector. After sequencing, because of several advantages of cereals for production of biopharmaceuticals, such as high cultivation area and biomass, possibility of grain storage and usage as food and feed, we constructed suitable vectors for *IGF1* integration and expression in cereals. In addition, as transgenic chloroplasts contain higher potential to produce elevated levels of functional recombinant proteins, the *IGF1* cDNA was recloned in two chloroplast-specific vectors. In one of these vectors, selectable marker gene is flanked by two direct repeats of LoxP sequences, providing the marker gene excision after production of transgenic plants via Cre/Lox system.

Keywords: *Insulin-like Growth Factor -1, Cloning, Gene transfer, Recombinant proteins, Expression vectors.*

* Corresponding Author: Ahmadabadi.M. Tel: 09141055661 Email: m.ahmadabadi@azaruniv.edu